

Исследование движения сыпучих материалов в спирально-винтовом дозаторе

Тарас Щур

Motion study for materials in spiral-screw feeder

Приведенные результаты исследований движения сыпучих кормов по конической поверхности рабочего органа спирально-винтового дозатора.

Key words: flow cone dispenser, flow velocity, particle

ВСТУПЛЕНИЕ

Одним из факторов повышения продуктивности животных является обогащения комбикормов биологически активными кормовыми добавками, которые увеличивают переваримость кормов на 20-25 % и сокращают их расход на единицу продукции до 20 %. Основной операцией при этом является дозирование добавок, которая обеспечивает качество смеси. Поэтому усовершенствование конструкций [1] дозаторов является актуальной задачей для развития животноводческой отрасли.

Результаты испытаний разных конструкций дозаторов, проведенных в ЦНИИ-МЕСХ [2], показали, что существующие дозаторы удовлетворительно работают на материалах свободной и средней текучести, но их нельзя рекомендовать для материалов с плохой текучестью, к которым относятся микроэлементы. Поэтому последующее усовершенствование конструкции дозаторов имеет большое практическое значение, особенно когда количество микроэлементов в кормовой смеси составляет меньше 1-го процента.

РЕЗУЛЬТАТЫ

Теоретическое описание и расчет устройства дозатора сыпучих кормов, который используется в качестве регулирующего фактора центробежных сил. (рис.1) представлен подающий конус дозатора, принципиальная схема.

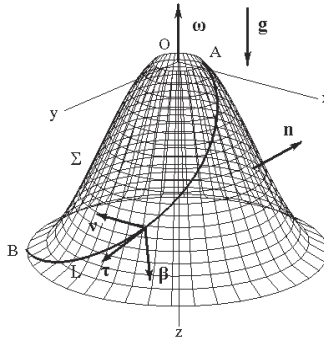


Рис.1. Принципиальная схема подающего конуса дозатора

Ротор дозатора ограничен поверхностью вращения Σ , ось которой Oz расположена вертикально вдоль направления силы тяжести интенсивности \vec{g} . На поверхности Σ имеется канавка L , вдоль которой сверху вниз может перемещаться частица сыпучего материала массы m . Сам ротор вращается вокруг своей оси с постоянной угловой скоростью $\vec{\omega}$. Направление вращения и направление спирали канавки согласованы так, как это изображено на рис.1. При движении по каналу частица испытывает сопротивление движению из-за действия силы сухого трения. Под действием указанных факторов частица совершает сложное движение, перемещаясь по каналу от точки A , и в точке B покидает его. Абсолютная скорость \vec{v}^a частицы в

точке B представляет сумму переносной \vec{v}^e и относительной \vec{v} скоростей $\vec{v}^a = \vec{v}^e + \vec{v}$, где \vec{v}^e направлен перпендикулярно цилиндрическому радиусу точки B и оси Oz в сторону вращения ротора, а \vec{v} является касательным к линии L в точке B . При постоянной угловой скорости $\vec{\omega}$ переносная скорость \vec{v}^e не меняется. Относительная же скорость \vec{v} зависит как от $\vec{\omega}$, так и формы поверхности ротора Σ и канала L . Поэтому здесь можно поставить вопрос об оптимальном выборе параметров дозатора, при которых относительная скорость вылета частицы из канала будет максимальной

Математическая постановка задания о динамике частицы

Поверхность ротора Σ образуется вращением кривой CD вокруг оси Oz (рис.2). Здесь R_2 - радиус меньшей основы ротора, R_1 - радиус большей основы, - высота ротора. Тогда уравнение кривой CD можно записать

$$z = F(r), \tag{1}$$

В рабочем состоянии меньшая основа находится наверху, большая внизу (рис.1). Поверхность Σ выполнена так, что касательная плоскость к ней при следовании z к H становится горизонтальной. Это будет иметь место тогда, когда касательная к кривой CD в точке D будет горизонтальной, или, другими словами, производная $F'(R_1) = 0$.

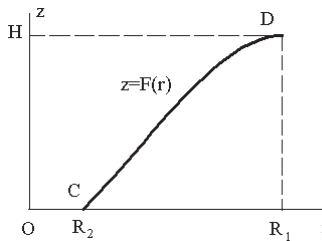


Рис.2. Принцип построения поверхности подающего конуса дозатора

Обозначим через Z_1 производную $F'(R_2)$. Кривую CD определим в виде сплайна, который соединяет точки C и D что удовлетворяет дополнительно два условия: [3, 4]. Сплайн в данном случае представляет полиномом третьей степени по переменной r , например, в виде

$$F(r) = A_3(R_1 - r)^3 + A_2(R_1 - r)^2 + H, \tag{2}$$

Такая функция удовлетворяет условиям $F(R_1) = H$, $F'(R_1) = 0$. Неопределенные коэффициенты A_2, A_3 берем из условий $F(R_2) = 0$, $F'(R_2) = Z_1$

$$\begin{cases} A_3(R_1 - R_2)^3 + A_2(R_1 - R_2)^2 + H = 0 \\ -3A_3(R_1 - R_2)^2 - 2A_2(R_1 - R_2) = Z_1 \end{cases}, \tag{3}$$

Соотношение (1.3) является системой двух линейных уравнений относительно неизвестных, решения которых имеют вид

$$\begin{aligned} A_2 &= \left(Z_1 - \frac{3H}{R_1 - R_2} \right) \frac{1}{R_1 - R_2}, \\ A_3 &= \left(\frac{2H}{R_1 - R_2} - Z_1 \right) \frac{1}{R_1 - R_2} \end{aligned} \tag{4}$$

Таким образом, соотношение (1.2) дает однопараметрическое семейство

кривых, которые описываются уравнением (1.1) с параметром Z_1 . По смыслу задания значения этого параметра должны лежать в интервале $(0, \infty)$.

Уравнение поверхности Σ является двумерным многообразием, любая точка ее однозначным чином определяется значениями двух параметров - криволинейных координат [5].

Введем в рассмотрение две системы координат: первую, декартова систему (x, y, z) , вторую, цилиндровую (r, φ, z) . Ось Oz выберем совпадающую с осью симметрии ротора и направим вниз. Начало координат пусть лежит в центре верхней основы ротора (рис.1). В дальнейшем воспользуемся принятым обозначением компонент любого трехмерного вектора \vec{a} в виде набора его проекций на осе декартова системы координат $\vec{a} = (a_x, a_y, a_z)$. В таких обозначениях радиус-вектор \vec{r} записывается как $\vec{r} = (x, y, z)$.

Учитывая однозначность функции (1.1), выберем в качестве параметров поверхности Σ (криволинейных координат) цилиндровый радиус \vec{r} и угол φ . Тогда векторное уравнение поверхности можно записать в виде

$$\vec{r} = \vec{r}(r, \varphi) = (x(r, \varphi), y(r, \varphi), z(r, \varphi))$$

или, учитывая связь между декартовыми и цилиндровыми координатами, в форме [6]

$$\vec{r} = (r \cos \varphi, r \sin \varphi, F(r)), \quad (5)$$

Вектора базиса криволинейной системы координат на Σ определяются в виде

$$\begin{aligned} \vec{e}_r &= \frac{\partial \vec{r}(r, \varphi)}{\partial r} = (\cos \varphi, \sin \varphi, F'(r)) \\ \vec{e}_\varphi &= \frac{\partial \vec{r}(r, \varphi)}{\partial \varphi} = (-r \sin \varphi, r \cos \varphi, 0) \end{aligned}, \quad (6)$$

где $F'(r) = \frac{dF(r)}{dr}$.

Вектора $\vec{e}_r = \vec{e}_r(r, \varphi)$ является касательными к координатным линиям параллелям $\varphi = const$ на Σ а вектора $\vec{e}_\varphi = \vec{e}_\varphi(r, \varphi)$ касательные к координатным линиям меридианам $r = const$. Координатная сетка на Σ является ортогональной, что выходит из ортогональной векторов \vec{e}_r и \vec{e}_φ .

Вектор единичной внешней нормали \vec{n} к Σ определяется как векторное создание векторов \vec{e}_φ и, разделенное на модуль этого векторного уравнения

$$\vec{n} = \vec{n}(r, \varphi) = \frac{\vec{e}_\varphi \times \vec{e}_r}{|\vec{e}_\varphi \times \vec{e}_r|} = \frac{(F'(r) \cos \varphi, F'(r) \sin \varphi, -1)}{\sqrt{1 + F'^2(r)}}, \quad (7)$$

Канал L на поверхности Σ является пространственной кривой. Здесь удобно рассмотреть параметрическую форму задания этой кривой [5]. Выберем как параметр полярный угол, областью изменения которого является интервал, где λ определяет, сколько раз кривая L обвивает ротор дозатора. Введем сокращенно обозначение

$$c = \frac{R_1 - R_2}{2\pi \lambda}, \quad (8)$$

и зададим уравнение кривой L в векторном виде

$$\vec{r} = \vec{R}(\varphi) = ((R_2 + c\varphi) \cos \varphi, (R_2 + c\varphi) \sin \varphi, F(R_2 + c\varphi)), \quad (9)$$

Из этого соотношения видно, что если частица движется по каналу с постоянным шагом h_φ по углу φ , то ее перемещение вдоль цилиндрического радиуса r тоже будет проходить с постоянным шагом, равным $c h_\varphi$. Шаг же вдоль оси z при этом не будет постоянным, и будет зависеть от характера кривой (1).

При естественной параметризации кривой как параметр выступает длина ее дуги. Начало и положительное направление отсчета дуги выбираются произвольно. Обозначим через ds бесконечно малый элемент дуги. Он связан с приростом $d\vec{r}$ радиус-вектора (9) соотношением

$$ds = \sqrt{d\vec{r} \cdot d\vec{r}},$$

где

$$d\vec{r} = d\vec{R} = \begin{pmatrix} c \cos \varphi - (R_2 + c\varphi) \sin \varphi, \\ c \sin \varphi + (R_2 + c\varphi) \cos \varphi, \\ cF'(R_2 + c\varphi) \end{pmatrix} d\varphi, \quad (10)$$

Таким образом

$$ds = \sqrt{(R_2 + c\varphi)^2 + c^2 (1 + F'^2(R_2 + c\varphi))} d\varphi, \quad (11)$$

Проинтегрируем последнее соотношение по φ , считая, что начало отсчета дуговой координаты лежит в т.А, а положительное направление ее отсчета совпадает с направлением движения точки от А к точке В. Получим зависимость дуговой координаты от

$$s = s(\varphi) = \int_0^\varphi \sqrt{(R_2 + c\varphi')^2 + c^2 (1 + F'^2(R_2 + c\varphi'))} d\varphi', \quad (12)$$

(φ' - переменная интегриации).

При обычном способе задания движению закон движения материальной точки имеет вид зависимости дуговой координаты от времени $s = s(t)$ [7]. Уравнения динамики при таком способе описания движения записываются в системе координат, связанной с естественным трехгранником, ортом которыми являются единичные вектора $\vec{\tau}$ - касательные к L, $\vec{\nu}$ - главной нормали, бинормали

$$\vec{\beta} = \vec{\tau} \times \vec{\nu}, \quad (13)$$

Касательный вектор определяется как

$$\vec{\tau} = \frac{d\vec{R}}{d\varphi} \left| \frac{d\vec{R}}{d\varphi} \right|^{-1}, \quad (14)$$

что, согласно формулам (1.10), (1.11), приводит к выражению

$$\begin{aligned} &= \begin{pmatrix} c \cos \varphi - (R_2 + c\varphi) \sin \varphi, \\ c \sin \varphi + (R_2 + c\varphi) \cos \varphi, \\ cF'(R_2 + c\varphi) \end{pmatrix} \times \\ &\times \left\{ (R_2 + c\varphi)^2 + c^2 (1 + F'^2(R_2 + c\varphi)) \right\}^{-1/2} \end{aligned} \quad (15)$$

Формулы Френе устанавливают связь между касательным вектором $\vec{\tau}$ и вектором главной нормали \vec{V} [3]

$$\frac{d\vec{\tau}}{ds} = k_1 \vec{V}, \quad (16)$$

где

$$k_1 = \left| \frac{d\vec{\tau}}{ds} \right| = \left| \frac{d\vec{\tau}}{d\varphi} \left| \left(\frac{ds}{d\varphi} \right)^{-1} \right| \right|, \quad (17)$$

- главная кривизна кривой, для нахождения которой нужно найти производную $\vec{\tau}$ по углу

$$\frac{d\vec{\tau}}{d\varphi} = \frac{\begin{pmatrix} -2c \sin \varphi - (R_2 + c \varphi) \cos \varphi, \\ 2c \cos \varphi - (R_2 + c \varphi) \sin \varphi, \\ c^2 F''(R_2 + c \varphi) \end{pmatrix}}{\left\{ (R_2 + c \varphi)^2 + c^2 (1 + F'^2(R_2 + c \varphi)) \right\}^{1/2}} - \frac{c(R_2 + c \varphi) + c^3 F'(R_2 + c \varphi) F''(R_2 + c \varphi)}{\left\{ (R_2 + c \varphi)^2 + c^2 (1 + F'^2(R_2 + c \varphi)) \right\}^{3/2}} \begin{pmatrix} c \cos \varphi - (R_2 + c \varphi) \sin \varphi, \\ c \sin \varphi + (R_2 + c \varphi) \cos \varphi, \\ c F'(R_2 + c \varphi) \end{pmatrix} \quad (18)$$

Соотношение (16), (17), (18), (11), (13) дают возможность записать выражения для главной кривизны k_1 , главной нормали \vec{V} и бинормали $\vec{\beta}$, конечный вид которых не приводится через их громоздкость.

Выводы

В результате проведенных исследований получили рациональную кривизну канала подающего конуса дозатора, которая обеспечит максимальную скорость движения потока сыпучего материала, который существенно повысит качественные показатели дозатора.

Литература

- [1] Дозатор сипучих материалів: Пат. на корисну модель. №19992 Україна, МПК G01F 11/00/ Бойко І.Г., Щур Т.Г. -200605866; Заявл.29.05.2006; Опубл. 15.01.2007, Бюл. №1. С. 16.
- [2] Степук Л.Я., Михасенюк Е.М., Лабозкий И.М. Универсальный дозатор ингредиентов комбикормов. – Мех. и электрификация соц. с. х-ва, 1976, №1, с. 44-45.
- [3] Стечкин С.Б., Субботин Ю.Н. Сплаины в вычислительной математике. М.: Наука,-1976. - 248.
- [4] Малоземов В.Н., Певный А.Б. Полиномиальные сплайны. Л.: Изд-во Ленингр. ун-та, 1986. - 120 с.
- [5] Погорелов А.В. Лекции по дифференциальной геометрии. Харьков. Изд-во Харьковск. госун-та, 1967. - 163 с.
- [6] Борисенко А.И., Тарапов И.Е. Векторный анализ и начала тензорного исчисления. Харьков: Выща школа, Изд-во при Харьк. ун-те, 1986. - 216 с.
7. Кильчевский Н.А. Курс теоретической механики. Т.1. М.: Наука.-1972. – 530 с.

Контакты:

К.т.н., в.о.доцента Тарас Щур, Кафедра “Тракторов и автомобилей”, Львовский национальный аграрный университет, тел.: 8(032)-242-954, Taras-g-sh@yandex.ru

Рецензент: проф. д.т.н. Дидух В.Ф.